

چهارمین کنفرانس شبکه‌های توزیع نیروی برق



کاربرد محدودساز رزنانسی LC برای کاهش سطح اتصال کوتاه

در پستهای توزیع

محمد جعفر بهمنی - سید حمید حسینی

دانشکده مهندسی برق - دانشگاه صنعتی شریف

چکیده:

افزایش جریان اتصال کوتاه در سیستم توزیع معضلی است که به دلیل افزایش ظرفیت تولیدی سیستم و از طرف دیگر رشد بهم پیوستگی ایجاد می‌شود. کاهش جریان اتصال کوتاه به خصوص در سیستم توزیع مستقیماً بر کاهش قیمت و هزینه تجهیزات مرتبط با جریان خطأ تأثیر دارد. در این مقاله به بررسی یک نوع از محدودکننده‌های جریان خطأ بنام محدودساز رزنانسی LC پرداخته شده و با استفاده شبیه‌سازی کامپیوتری توسط برنامه EMTP مزایا و معایب کاربرد این نوع محدودساز در موقعیتهای مختلف یک شبکه نمونه مشخص و بررسی می‌گردد.

۱ - مقدمه :

افزایش روزافزون مصرف انرژی الکتریکی دو راه حل ورود واحدهای تولیدی بزرگ و جدید به شبکه و افزایش بهم پیوستگی شبکه‌ها با احداث خطوط انتقال و توزیع بین پستهای فشار قوی را پیشنهاد می‌کند. با یک تجزیه و تحلیل ساده مشخص می‌شود که دو عامل فوق باعث افزایش سطح اتصال کوتاه در شیوه‌های سیستم می‌شوند که چنانچه میزان افزایش جریان اتصال کوتاه زیاد باشد نیاز به تعویض تجهیزات شبکه نظر کلیه‌های قدرت خواهد بود که در نتیجه هزینه‌های زیادی بر شبکه و به خصوص بخش توزیع تحمیل خواهد کرد یکی از مسایلی که در چند دهه گذشته نظر محققین را به خود جلب نموده ارائه روشهایی برای کاهش جریان اتصال کوتاه^(۱) بوده است.

در سطور بعدی به یکی از ابزارهای جدید و مؤثر محدودسازی جریان اتصال کوتاه بنام محدودساز رزنانسی LC پرداخته می‌شود و سپس نتایج شبیه‌سازی کامپیوتری کاربرد آن در یک شبکه توزیع نمونه بررسی می‌شود که مؤید مؤثر بودن این روش می‌باشد:

۲ - قابلیتهای محدودسازی جریان خط (FCL) :

محدودساز جریان خط وسیله‌ای است که به صورت سری در مدار قرار گرفته و باید در شرایط نرم‌افزار امپدانس کوچکی از خود نشان دهد و در شرایط بروز خطأ این امپدانس سریعاً افزایش باید تا جریان محدود شود. اساساً همه انواع FCL‌ها را می‌توان به صورت یک کلید NC⁽²⁾ که با یک امپدانس یا مقاومت موازی شده باشد فرض نمود. نوع کلید، مدار کنترل و نوع امپدانس می‌تواند از هر طرح به طور دیگر بسیار متفاوت باشد. کلید می‌تواند DC باشد که در طی یک زمان از پیش تنظیم شده و بدون احتساب زاویه فازی ولتاژ، جریان را سریعاً به امپدانس منتقل نماید و یا اینکه کلید AC یا فیوز باشد که در آن افزایش امپدانس کنترل از کلید DC بوده و تاریخی جریان به اولین صفر آن میزان جریان با یک مقاومت تقسیم و پس از عبور از صفر کل جریان از داخل مقاومت عبور خواهد کرد. سرنجام همانطور که بعداً شرح داده می‌شود FCL می‌تواند یک مدار روناسی LC باشد که مقادیر اجزاء آن طوری تنظیم می‌شوند که امپدانس زیادی را به مدار تحمیل کنند.

بطور کلی یک FCL در حالت ایده‌آل باید این نیازها را مرتفع کند: ۱) در حالت وصل (ON) افت ولتاژی برابر صفر داشته باشد، ۲) در حالت قطع (OFF) مقاومت بالایی داشته

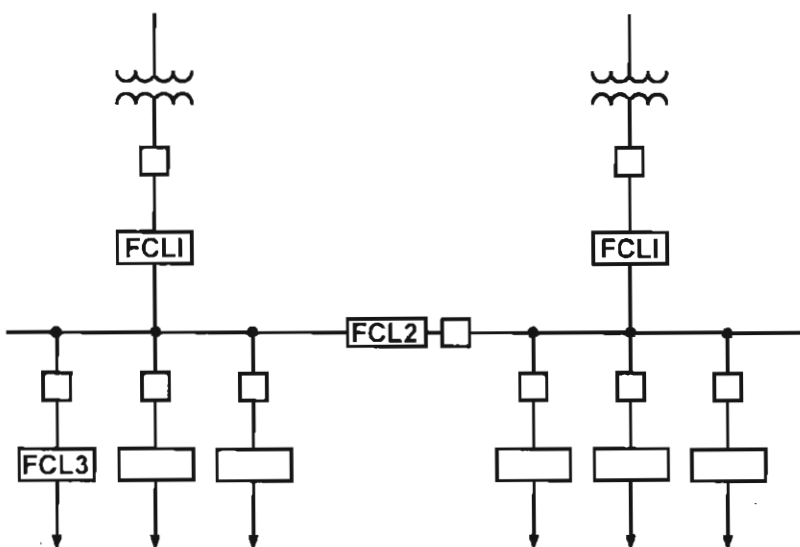
1 - Fault Current Limiter.

2 - Normally Closed.

باشد، ۳) قبل از رسیدن به اولین پیک جریان وارد مرحله عمل شود، ۴) جریان خطای گذرا را کاهش دهد، ۵) مؤلفه DC جریان خطای را تا حد قابل قبولی حذف کند، ۶) جریان خطای را در حالت ماندگار محدود نماید.

۳- محل نصب FCL :

برای کاربرد FCL در سیستم توزیع قواعدی وجود دارند که با توجه به شکل ۱ بیان می‌شوند این شکل یک پست بزرگ دارای چند ترانسفورماتور توزیع با در نظر گرفتن محلهای ممکن برای نصب FCL را نشان می‌دهد. در شبکه‌های توزیع توسعه یافته استفاده از چند ترانسفورماتور به صورت موازی بر روی شینهای کوپل شده با یکدیگر متعارف می‌باشد. اولین قاعده در کاربرد FCL این است که محدودسازی جریان سیستم توزیع برای رفع خطا بکار نمی‌رود و فقط دامنه جریان را طوری محدود می‌کند که دیزنسکتور با ایمنی کامل و بدون وجود اضافه بار عمل قطع را انجام دهد. توجه به این نکته مهم است که محدودسازی جریان خطای نبایستی سیستم حفاظتی را مختل سازد [8].



«شکل ۱- محلهای نصب FCL در یک پست بزرگ توزیع.»

دومین قاعده اینکه FCL باید طوری قرار گیرد که از حداقل تعداد کلیدهای ممکن حفاظت کند. صرفه اقتصادی این روش مشخص است. با نصب FCL در موقعیت ترانسفورماتور (FCL1) و با فرض فعال شدن آن سهم ترانسفورماتور مربوطه از جریان خطای

کاهش یافته و یا حذف می شود. همچنین جریان قطع دزنکتور خط نیز کاهش می یابد. چنانچه FCL در موقعیت شین ارتباطی (FCL2) قرار گیرد، شین بطور مؤثری تقسیم شده و خط معیوب تنها از طریق یکی از ترانسفورماتورها تغذیه می گردد. نصب FCL در موقعیت فیدر (FCL3) دارای این مزیت است که جریان نامی آن نسبت به حالات قبلی کوچکتر است اما دارای دو عیب می باشد به این صورت که برای بررسی هر فیدر یک FCL مورد نیاز است و نسبت به FCL مستقر در شین ارتباطی دارای تلفات بیشتری است زیرا جریان بار مداوماً از آن عبور می کند. بطور کلی انتخاب محل استقرار FCL را می توان با احتساب سطوح محدودسازی جریان که با توجه به ملاحظات عملی اقتصادی و طراحی بدست می آیند انجام داد.

۴ - محدودساز رزنانسی : LC

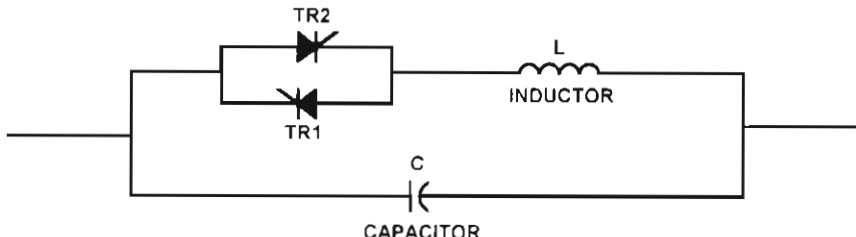
چنانچه بخواهیم قابلیت های مورد اشاره دور از واقعیت نباشد طبعاً باید برای محدود کردن جریان خطا از روشهایی استفاده نمود که در عین حال که جریان اتصال کوتاه را در شبکه محدود می نمایند در شرایط کار عادی نیز اشکال قابل ملاحظه ای ایجاد نکنند. قدیم ترین و عمومی ترین تکنیک، قرار دادن سیم پیچ سری در خطوط خروجی مدار و یا در بخش ارتباطی شین ها است که بر اثر آن امپدانس مدار افزایش یافته و جریان خطا کاهش می یابد. فیوز های محدودساز جریان قادرند جریان خطا را در اولین پیک آن قطع کنند ولی از طرف دیگر اضافه ولتاژ حاصل از این قطع ناگهانی می تواند خطرناک باشد. روشهای دیگری هم نظری استفاده از نوع کلیدی، ابر رساناها و یا کلیدهای خلاء نوع قوسی^(۱) پیشنهاد و ارائه گردیده اند که در حال حاضر استفاده از آنها به دلایلی از جمله بالا بردن هزینه و محدودیت رنج ولتاژ و جریان عملی نیست.

پیشرفت های چند دهه اخیر در زمینه الکترونیک استفاده از کلیدهای تریستوری را برای کنترل سیستمهای قدرت ممکن نموده است. و این امر احتمال استفاده از این وسایل جهت محدودسازی جریان اتصال کوتاه در شبکه را خیلی زیاد کرده است. در اینجا به بررسی جدید ترین روش کاهش جریان خطا با استفاده از مدار رزنانسی می پردازیم که از نظر تئوری و عمل در حد قابل توجیهی است. در این روش از ترکیب موازی یک سیم پیچ و خازن که روی هم رفته مدار رزنانسی LC را تشکیل می دهد استفاده می شود (شکل ۲).

در شرایط بروز خطا مدار رزنانسی LC به صورت سری در مسیر جریان خطا قرار گرفته و

۱ - Are Type Circuit Breaker.

امپданس آن به محض ورود سریعاً افزایش یافته و جریان خطا را محدود می‌نماید. چنانچه از تلفات چشم‌پوشی کنیم در شرایط ماندگار امپدانس مدار رزنانسی بسیار بزرگ و در واقع از نظر تئوری بینهایت می‌باشد. واضح است که مدار رزنانسی برای برآورده کردن این نیاز بایستی بلا فاصله پس از برقراری خطا در مدار قرار گیرد. این امر مستلزم کاربرد کلیدهای سریع العمل با زمان عملکردی حدود چند میلی ثانیه می‌باشد. ظرفیت حمل جدیدترین تریستورها به حدود چند هزار آمپر می‌رسد که با توجه به روند رو به کاهش قیمت نیمه هادیها کاربرد این وسایل از نظر اقتصادی نیز به صرفه خواهد بود.



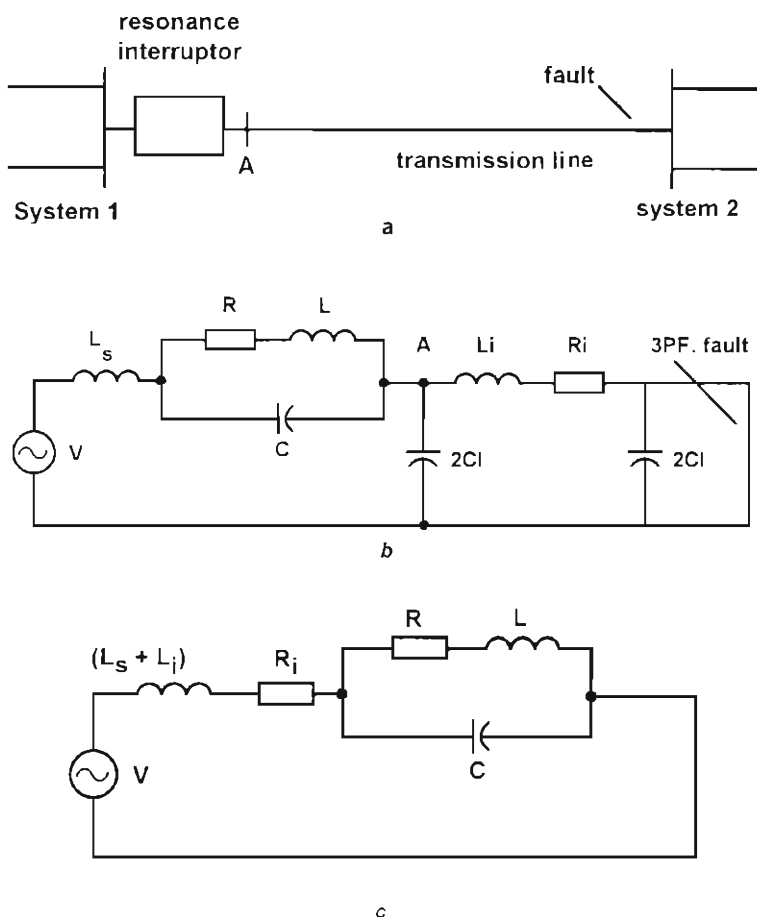
«شکل ۲ - محدودساز رزنانسی LC »

در شکل ۲ خازن C به صورت سری با خط انتقال قرار گرفته و عمل جبران‌سازی را انجام می‌دهد. به هنگام وقوع اتصال کوتاه تریستورهای TR₁ و TR₂ آتش شده و اندوکتانس L را به صورت موازی با C در مدار قرار می‌دهند. مدار حاصل که یک مدار رزنانسی می‌باشد جریان خطا را محدود می‌سازد. زمان لازم برای ایجاد این حالت بسیار کوچک و در حد میلی ثانیه می‌باشد. روش شدن تریستورها در جریان صفر تا جایی ادامه می‌یابد که مقدار جریان به حدی برسد که بطور مکانیکی قابل قطع باشد. با قطع آتش از روی گیتها، کلیدهای تریستوری در صفر بعدی جریان خاموش می‌شوند که اگر خطا حذف شده باشد دوباره سیستم به کار نرمال خود باز می‌گردد.

۱ - ۴ - تجزیه و تحلیل عملکرد و معادلات :

با استفاده از مدار شکل ۳ عمل محدودسازی جریان را مورد مطالعه قرار می‌دهیم. در شکل یاد شده محدودساز جریان در یک خط ارتباطی بین دو سیستم قدرت بزرگ نصب گردیده است. سیستم از دید شین با یک منبع ولتاژ و یک اندوکتانس سری نمایش داده می‌شود. برای خطوط انتقال از مدار معادل پی استفاده شده و برای نمایش محدودساز جریان نیز یک اندوکتانس و خازن موازی بکار رفته است. مدار معادل پس از وقوع یک خطای سه فاز متقارن

روی خط انتقال به صورت شکل ۳-۳ نمایش داده می‌شود. برای ساده‌تر شدن مطالعه تحلیلی سیستم از خازن خط نیز چشم‌پوشی نموده که به این ترتیب شکل ۳-۳ نتیجه می‌شود.



«شکل ۳-۳- مدار معادل برای محاسبات جریان خط a) دیاگرام مدار، b) مدار معادل، c) مدار معادل ساده شده.

جریان مدار معادل شکل ۳-۳ با استفاده از تبدیل لاپلاس به قرار زیر است:

$$\frac{\sqrt{2}V}{\sqrt{3}} \frac{\omega}{S^2 + \omega^2} = I [R_i + S(L_s + L_i) + \frac{(SL + R)}{SC} / \frac{(1 + SL + R)}{SC}] \quad (1)$$

که در آن:

ω = فرکانس زاویه‌ای V = مقدار ولتاژ تغذیه

C = خازن مدار رزنانس L_i = انداختاس خط

R_i = مقاومت اهمی خط

L_s = اندوکتانس منبع

L = اندوکتانس مدار رزنانس

جريان خطایی که از معادله بالا محاسبه می‌گردد دارای یک مؤلفه ماندگار، دو مؤلفه DC و دو مؤلفه گذرا می‌باشد. اگر مدار LC با فرکанс منبع تغذیه تنظیم شود ($\omega = \omega_0 = \frac{1}{\sqrt{LC}}$) مؤلفه ماندگار به صورت زیر خواهد بود:

$$I_s = \frac{2}{3} \frac{V}{\sqrt{\{\omega(L_{si} - L)\}^2 + [R_s + (L/RC)]^2}} \sin(\omega t - \phi_0) \quad (2)$$

که در آن $L_s + L_{si} = L_s$ و ϕ_0 زاویه فازی امپدانس مدار در حالت رزنانس می‌باشد. با فرض اینکه مقاومتها برابر صفر باشند (برای سهولت در تحلیل) مؤلفه‌های DC و گذرا توسط چهار معادله زیر بیان می‌شوند:

$$I_{dc1} = I_0 \frac{L_{si}}{L_{si} + L} \quad (3)$$

$$I_{dc2} = \sqrt{\frac{2}{3}} \frac{V}{\omega(L_{si} + L)} \quad (4)$$

$$I_{11} = I_0 \frac{L}{L + L_{si}} \cos \beta t \quad (5)$$

$$I_{12} = -\sqrt{\frac{2}{3}} \frac{V}{\omega L_{si}} \frac{\omega^2}{\beta^2 - \omega^2} \frac{L}{L + L_{si}} \cos \beta t \quad (6)$$

که در معادلات فوق $\beta = \frac{1}{\sqrt{LC}}$ می‌باشد. اگر مدار LC روی فرکانس منبع تغذیه تنظیم شود معادله (6) به صورت زیر خواهد شد:

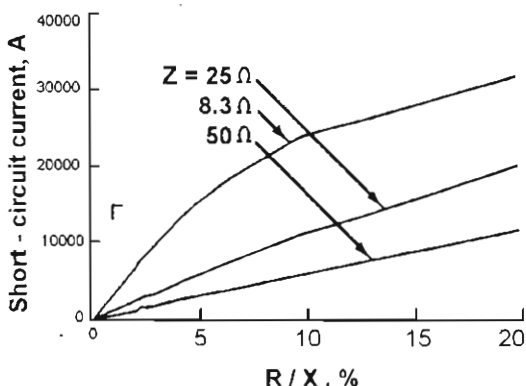
$$I_{12} = -\sqrt{\frac{2}{3}} \frac{V}{\omega_0 (L + L_{si})} \cos \beta_t \quad (7)$$

مؤلفه‌های DC و گذرا در صورتی که مقاومتها برابر صفر باشند به صورت نمایی میرا می‌شوند.

۲-۴- آنالیز حساسیت :

اگر مدار LC روی فرکانس تغذیه تنظیم شده باشد طبق معادله (2) ملاحظه می‌شود که مقاومت داخلی اندوکتانس بکار رفته در مدار محدودساز بطور مؤثری در توانایی آن برای محدود کردن جريان اثر می‌گذارد (شکل ۴). بنابراین بهتر است که مقاومت اهمی اندوکتانس محدودساز جريان تا حدی که تکنولوژی ممکن می‌سازد به حداقل رسانیده شود. به عنوان

نمونه چکهایی (chokes) که فعلاً در بازار موجود می‌باشند دارای نسبت مقاومت اهمی به راکتانس حدود 5% هستند. علاوه بر این در شکل ۴ ملاحظه می‌شود که بالا بودن امپدانس مشخصه نیز خود یک مزیت بشمار می‌آید.



«شکل ۴ - انواع امتزاهای مدار بر جریان خطای ماندگار.»

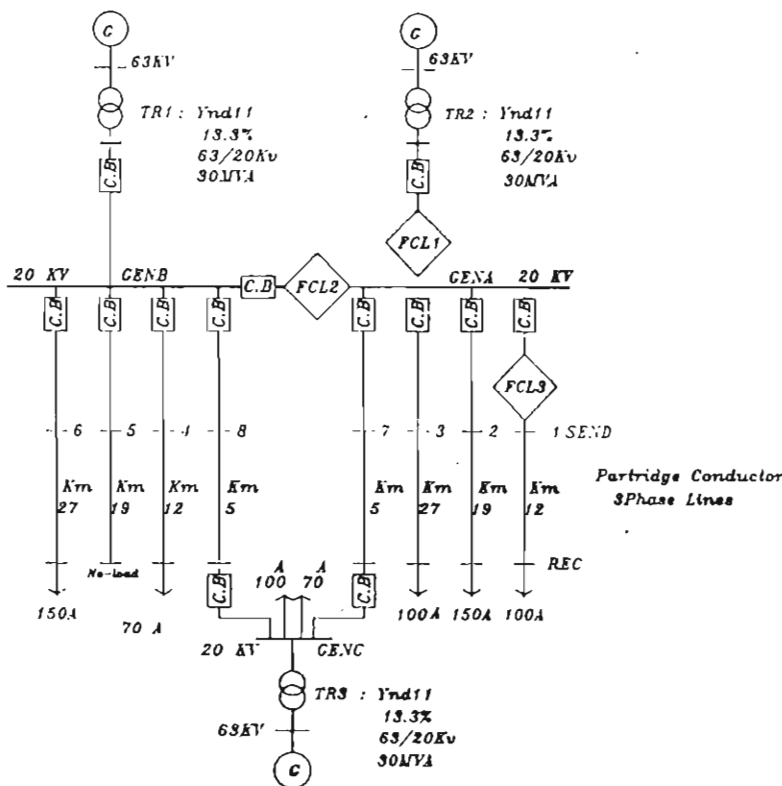
بررسی‌ها نشان می‌دهد که اگر فرکانس رزنانس مدار LC بیش از فرکانس تنفسی باشد امپدانس محدودساز اندوکتیو بوده و جریان خطای مذکور مؤثر کاهش می‌دهد. مؤثرترین حالت محدودساز هنگامی است که روی فرکانس تنفسی تنظیم گردد که در این صورت امپدانس اهمی بوده و مقدار بالایی خواهد داشت. چنانچه فرکانس از این مقدار هم کمتر انتخاب شود امپدانس مدار حالت خازنی پیدا می‌کند اما در فرکانس‌های مابین ω_0 و ϕ کل امپدانس مدار در حالت القایی باقی می‌ماند زیرا امپدانس خط بزرگتر از امپدانس مدار LC است. در این ناحیه با کاهش فرکانس، جریان شدیداً افزایش می‌یابد. در $\omega = \beta$ امپدانس اهمی شده و رزنانس سری رخ داده و جریان به حد اکثر مقدار خود می‌رسد. کاهش بیشتر فرکانس رزنانس مدار LC جریان را کاهش می‌دهد. چنانچه مدار LC روی فرکانس تنفسی تنظیم شده باشد می‌توان جریان گذرا از معادلات (۵) و (۷) محاسبه نمود. در این حالت جریان به مجموع راکتانس خط، منبع تنفسی و محدودساز جریان بستگی دارد. معادله (۷) نشان می‌دهد که بزرگ بودن اندوکتانس و کوچک بودن ظرفیت محدودساز یک مزیت به شمار می‌آید. اندازه بهینه باید در ارتباط با قیمت تجهیزات محاسبه گردد. همچین طبق معادلات (۳) و (۴) افزایش اندوکتانس محدودساز باعث کاهش مقادیر مؤلفه‌های DC می‌شود.

محل خطای بر مقدار جریانهای گذرا و DC تأثیر می‌گذارد. محاسبات انجام شده نشان می‌دهد چنانچه خطای در نزدیکی منبع تنفسی اتفاق افتاد محدودساز جریان کارآیی بهتری خواهد داشت.

۵ - شبیه‌سازی کامپیوتری کاربرد FCL در شبکه توزیع

نمونه :

برای شبکه توسعه یافته شکل د شبیه‌سازی کامپیوتری کاربرد FCL رزنانسی برای نصب در موقعیتها مختلف توسط نرم افزار EMTP انجام شده است. مدل سازی اجزاء شبکه با حد اکثر دقیق انجام شده تا نتایج واقعی تر باشند.



«شکل ۵ - شبکه توزیع نمونه.»

میزان پیک جریان اتصال کوتاه سه فاز در شین 20 کیلوولتی GENA برابر 43.2 کیلوآمپر و در همین حال پیک جریان عبوری از شین ارتباطی برابر 20.1 کیلوآمپر می‌باشد. چنانچه خطا پس از 13mSec از زمان صفر جریان به وقوع پیوند میزان مؤلفه DC جریان حداکثر خواهد بود. میزان جریان اتصالی در انتهای فیدر شماره (۱) با شرایط قبلی 5.3KA می‌باشد که نسبت به

حالات اخیر میرایی آن بیشتر است.

طبعاً هر چه فیدر طولانی تر باشد به دلیل افزایش امپدانس آن، مقدار پیک جریان اتصالی در نقطه اتصالی کوچکتر و از طرف دیگر میرای مؤلفه DC جریان نیز بیشتر می‌باشد. جریان خطرا برای بدترین حالت یعنی درست بعد از کلید قدرت ابتدای فیدر شماره یک باید براورده نمود که جریان اتصالی برای این موقعیت تقریباً برابر با مقدار جریان اتصالی در حالت اول می‌باشد. قطع چنین جریانی توسط کلیدهایی که در سیستم بکار رفته‌اند غیر ممکن می‌باشد زیرا جریان نامی اتصال کوتاه قطع آنها ۱۶ الی ۲۵ کیلوآمپر می‌باشد. و حضور مؤلفه DC در این جریان، قطع آن را مشکل‌تر می‌سازد.

۱-۵- نصب FCL در موقعیت ترانسفورماتور (FCL1) :

با توجه به استاندارد شماره ANSI/IEEE C57.92 می‌توان ظرفیت ترانسفورماتورهای قدرت را در شرایط اضافه بار مشخص نمود. برای ترانسفورماتورهای شبکه شکل ۵ مقدار جریان نامی برابر $A = \frac{30 \times 10^3}{20\sqrt{3}} = 866A$ است که برای بار معادل ۷۰ درصد و پیک بار ۲ الی ۴ ساعت ضربی ۱.۳۷ را در نظر گرفته و در نتیجه مقدار جریان در پریود پیک برابر $1200A = 866 \times 1.37$ می‌باشد که در واقع جریان نامی عبوری از FCL در موقعیت یک خواهد بود. در جدول ۱ مقادیر امپدانس عناصر FCL رزنانسی که با توجه به امپدانس سیستم انتخاب شده‌اند آورده شده است و برای هر نمونه پیک جریانهای ترانسفورماتور، تریستور، جریان چرخشی و ولتاژ برگشتی با توجه به اسیلوگرامهای حاصل از اجرای برنامه EMTP مشخص گردیده است. راندمان محدودسازی طبق رابطه

$$\frac{\text{جریان خط با وجود FCL} - \text{جریان خط بدون حضور FCL}}{\text{جریان خط بدون حضور FCL}} \times 100\% \quad \text{تعريف شده است.}$$

مقایسه نشان می‌دهد که ردیف سوم جدول فوق از نظر محدودسازی راندمان بهتری دارد زیرا علاوه بر کاهش مؤثر جریان خطرا جریان شبکه ارتباطی را نیز افزایش نداده است. بررسیهای انجام شده بر روی خروجیهای برنامه نشانگر عدم برابری در جریانهای عبوری از تریستورها به دلیل حضور مؤلفه DC و بزرگتر بودن پیک ولتاژ برگشتی نسبت به پیک ولتاژ نامی سیستم می‌باشد که در طراحی باید بدانها توجه شود.

جدول ۱ - تابع کاربرد انواع انتخابی FC_L رزنانسی در موقیت پک برای اتصال کوتاه در شرین «.

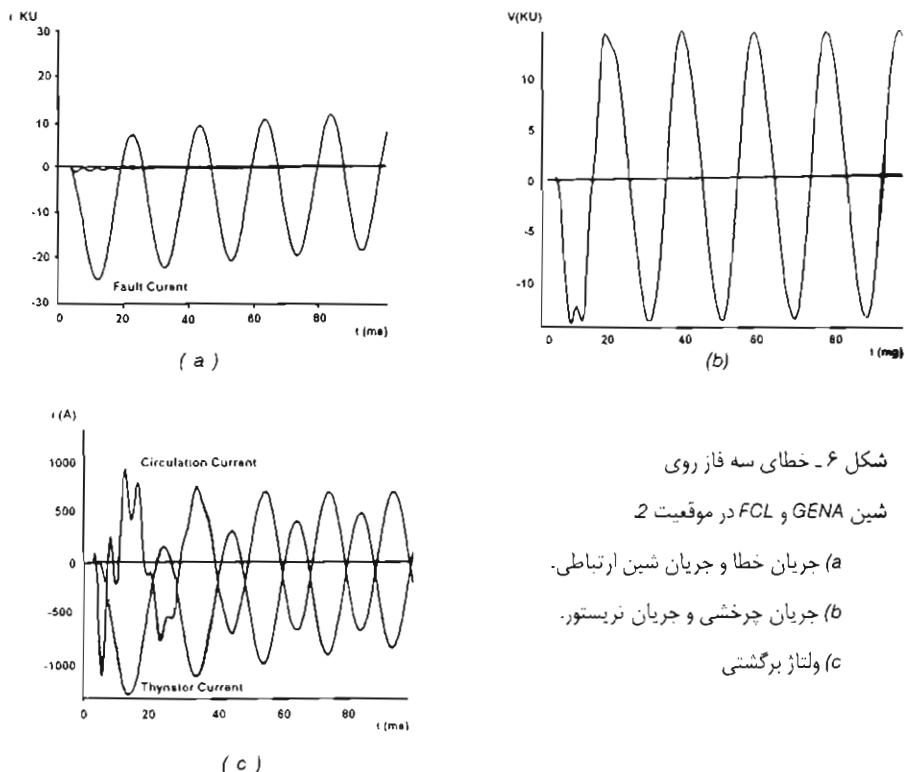
ردیف	مشخصات	نام فایل اجرایی	راندمان محدودسازی	راندمان محدودسازی	ملاحظات
۱	$X_1 = 6.91 \Omega$ $Y_c = 144686 \mu\text{mho}$ $R = 0.346 \Omega$	3FGLZ 1T	-10	28	جزیان شیب ارتباطی٪ جزیان خطای٪
۲	$X_1 = 13.823 \Omega$ $Y_c = 72343 \mu\text{mho}$ $R = .691 \Omega$	3FGLZTm1	.5	33	$I_T = 3.4 \text{ kA}$ $I_{Th} = 400 \text{ A}$ $I_{cr} = 3050 \text{ A}$ $V_T = 18 \text{ KV}$
۳	$X_1 = 20.73 \Omega$ $Y_c = 48229 \mu\text{mho}$ $R = 1.036 \Omega$	3FGLZTm1	0.5	33	$I_T = 2.1 \text{ kA}$ $I_{Th} = 2 \text{ kA}$ $I_{cr} = 175 \text{ A}$ $V_T = 23 \text{ KV}$
۴	$X_1 = 41.15 \Omega$ $Y_c = 24299 \mu\text{mho}$ $R = 2.058 \Omega$	3FGLZTm3	-10	33	$I_T = 1400 \text{ A}$ $I_{Th} = 1200 \text{ A}$ $I_{cr} = 1450 \text{ A}$ $V_T = 19 \text{ KV}$
۵	$X_1 = 60 \Omega$ $Y_c = 16667 \mu\text{mho}$ $R = 3 \Omega$	3FGLZTm2	-11	36	$I_T = 800 \text{ A}$ $I_{Th} = 700 \text{ A}$ $I_{cr} = 19 \text{ kA}$ $V_T = 19 \text{ KV}$
۶	$X_1 = 137.6 \Omega$ $Y_c = 7267 \mu\text{mho}$ $R = 6.88 \Omega$	3FGLZAT	.5	33	$I_T = 460 \text{ A}$ $I_{Th} = 370 \text{ A}$ $I_{cr} = 450 \text{ A}$ $V_T = 19 \text{ KV}$
۷	$X_1 = 137.6 \Omega$ $Y_c = 7267 \mu\text{mho}$ $R = 6.88 \Omega$	3FGLZAT	.5	33	$I_T = 300 \text{ A}$ $I_{Th} = 220 \text{ A}$ $I_{cr} = 300 \text{ A}$ $V_T = 19 \text{ KV}$

« جدول ۲ - نتایج کاربرد انواع FCL رزیانسی در موقعیت ۲ برای خطی ای سه فازه در شیش »

ردیف	مشخصات	نام فایل اجرای	نوع خط	رالسان محدودسازی جزیان خطا٪	رالسان محدودسازی جزیان شیمن ارتباطی٪	رالسان محدودسازی جزیان خط٪	ردیفان محدودسازی جزیان خط٪
۱	$X_L = 6.91 \Omega$ $Y_c = 144686 \mu\text{mho}$ $R = 346 \Omega$	3FGLZB	سد فاز در شیمن GENA	85%	33%	I _{TH} = 3200 A I _{er} = 60 A U _r = 15 KV	
۲	$X_L = 13.823 \Omega$ $Y_c = 72343 \mu\text{mho}$ $R = .691 \Omega$	3FGILZBM1	سد فاز در شیمن GENA	93%	42%	I _{TH} = 1900 A I _{er} = 1500 A U _r = 15 KV	
۳	$X_L = 20.73 \Omega$ $Y_c = 48229 \mu\text{mho}$ $R = 1.036 \Omega$	3FGILZB2	سد فاز در شیمن GENA	95%	42%	I _{TH} = 1.4 KA I _{er} = 1100 A U _r = 17 KV	
۴	$X_L = 41.15 \Omega$ $Y_c = 24299 \mu\text{mho}$ $R = 2.058 \Omega$	3FGILZB3	سد فاز در شیمن GENA	98%	35%	I _{TH} = 660 A I _{er} = 580 A U _r = 15 KV	
۵	$X_L = 60 \Omega$ $Y_c = 1667 \mu\text{mho}$ $R = 3 \Omega$	3FGILZBM3	سد فاز در شیمن GENA	98%	33%	I _{TH} = 480 A I _{er} = 450 A U _r = 15 KV	
۶	$X_L = 80 \Omega$ $Y_c = 12502 \mu\text{mho}$ $R = 4 \Omega$	3FGILZBM2	سد فاز در شیمن GENA	98%	44%	I _{TH} = 330 A I _{er} = 200 A U _r = 15 KV	
۷	$X_L = 137.6 \Omega$ $Y_c = 7257 \mu\text{mho}$ $R = 6.88 \Omega$	3FGILZAB	سد فاز در شیمن GENA	10%	7%	I _{TH} = 18 A I _{er} = 0 U _r = 2.9 KV	

۲-۵-نصب FCL در موقعیت شین ارتباطی (FCL2) :

در جدول ۲ نتیجه کاربرد چند نوع مدار LC انتخابی برای خطاهای سه فاز مقارن در شین ۲۰ کیلوولت GENA مشخص شده است. بررسیهای انجام شده بر روی منحنی های حاصل از اجرای برنامه EMTP برای حالات مختلف نشانگر وجود مؤلفه DC بالا برای جریانهای شین ارتباطی است و این امر به دلیل انتخاب زمان ۳mSec برای وقوع اتصال کوتاه است که حداکثر مؤلفه DC را ایجاد می نماید. مقاومت محدودساز نقش به سزایی در میراثی سریع این مؤلفه DC دارد. از طرف دیگر مقدار مؤلفه DC به جریان اولیه مدار نیز بستگی دارد. نکته حائز اهمیت دیگر صفر شدن جریانهای اتصال کوتاه و جریان شین ارتباطی است. در شکل ۶-



شکل ۶- خطای سه فاز روی

شین GENA و FCL در موقعیت ۲

(a) جریان خطا و جریان شین ارتباطی.

(b) جریان چرخشی و جریان نریستور.

(c) ولتاژ برگشتی

جریانهای اتصال کوتاه و جریان شین ارتباطی و در شکل ۶- ۶ جریان چرخشی و جریان تریستور نشان داده شده اند. در صد بالای راندمان محدودساز مشخص کننده ارزشمند بودن FCL در این موقعیت نسبت به موقعیت ترانسفورماتور می باشد و با توجه به توسعه پستهای

فوق توزیع از طریق موازی کردن ترانسفورماتورها می‌توان گفت که با نصب FCL با چنین راندمانهایی بسیاری از مشکلات ناشی از افزایش سطح جریان اتصال کوتاه مرتفع می‌گردد. جریان مداوم عبوری از FCL2 کمتر از مقدار مشابه آن در موقعیت یک است البته با این فرض که هیچ یک از دو شین 20 کیلوولتی GENB و FCL2 قرار نیست که جریان نامی خود را از ترانسفورماتور متصل به شین دیگر تأمین نماید. جریان نامی FCL2 باید نصب جریان نامی آن در موقعیت یک یا تقریباً 600A باشد که در واقع برای کاربرد FCL رزنانسی در این موقعیت یک مزیت به شمار می‌آید. مطابق شکل ۶ - ۶ بخش اصلی جریان چرخشی، جریان ماندگار می‌باشد و بررسیها نشان می‌دهند. هر چه مقدار مقاومت FCL بیشتر باشد مؤلفه DC این جریان نیز سریع‌تر میرا می‌شود. در شکل ۶ - ۶ ولتاژ برگشتی دو سر راکتور ملاحظه می‌شود. شبیه‌سازیهای انجام شده نشان می‌دهد که تأخیرهای تا 2 میلی ثانیه برای سیستم حس و آشکارسازی قابل قبول بوده و تنها باعث یک افزایش جزیی در جریان خطأ می‌گردد. تأخیر ۰.۶mSec را با توجه به کاربرد سیستمهای آشکارساز سریع انتخاب و منظور نموده‌ایم | ۱۷

۳-۵-نصب FCL در موقعیت تغذیه‌کننده (FCL3) :

آخرین موقعیتی که در شکل ۵ بررسی می‌کنیم موقعیت تغذیه‌کننده‌ها می‌باشد. جریان مداوم مورد نیاز FCL می‌تواند در رنج وسیعی تغییر کند. این تغییرات بستگی به تعداد تغذیه‌کننده‌ها و عملیاتی که بهره‌بردار روی آنها انجام می‌دهد دارد. بهر حال صورت مسئله مشابه با حالت نصب در موقعیت ترانسفورماتور (FCL1) می‌باشد. زیرا به استثنای حالتی که خطأ در شین واقع شده باشد در هر دو موقعیت جریان خطأ یکسان است. یعنی برای یک جریان خطأ در تغذیه‌کننده همان جریانی از FCL3 عبور می‌کند که از FCL1 می‌گذرد.

جریان مداوم نامی را نمی‌توان مشابه با دو موقعیت قبلی محاسبه کرد. جریان نامی هر تغذیه‌کننده با توجه به حداقل بار دریافتی از آن محاسبه و تعیین می‌شود که در این محاسبه طرح توسعه آتی و ظرفیت خط در نظر گرفته می‌شود. مقدار نمونه 600A می‌تواند یک پیشنهاد قابل قبول برای اکثر تغذیه‌کننده‌های 20KV باشد زیرا در بسیاری از حالات جریان نامی زیر این مقدار است.

بررسی‌ها نشان می‌دهند که میزان میرایی جریان خطأ و جریان شین ارتباطی به مراتب بیشتر از دو حالت قبل است که این امر به دلیل اضافه شدن مقاومت اهمی خط می‌باشد. مقدار پیک ولتاژ برگشتی نیز بیش از دو حالت قبل بوده و افزایشی معادل ۵۳٪ بیشتر از پیک ولتاژ نامی را نشان می‌دهد.

۶- نتیجه گیری و پیشنهادات :

با استفاده از تجزیه و تحلیل انجام شده و نتایج شبیه سازی کامپیوتری می توان نتیجه گرفت که انتخاب FCL برای هر موقعیت نیازمند یک مطالعه دقیق با توجه به وضعیت و شرایط آن است. بطور کلی نکات زیر باید مد نظر قرار گیرند:

۱ - FCL باید جریان خطای مؤثر متقارن را به حد مورد نظر که در رنج نامی تجهیزاتی نظر کلیدها، فیوزها و وسایل حفاظتی باشد محدود نماید بطوری که عملکرد این وسایل مختلف نشود.

۲ - با توجه به اینکه سیستم حفاظتی نیز خطا را آشکار می کند ضروری است پس از تجزیه قسمت معیوب از شبکه مجدداً FCL بطور اتوماتیک به حالت اولیه خود برگردد.

۳ - سیستم توزیع از نظر نوع اتصال زمین، سطح ولتاژ و غیره مناسب باشد.

۴ - قادر به حمل جریان مداوم نامی موقعیتی که در آن بکار رفته (خصوصاً موقعیتهاي ۱ و ۳) باشد.

۵ - چنانچه تلفات FCL قابل توجه باشد اقتصادی ترین محل نصب آن شین ارتباطی است و خوشبختانه در مورد FCL رزنانسی نیز راندمان محدود سازی در این موقعیت از سایر موقعیت ها بالاتر است.

۶ - در FCL تمهیداتی اندیشه شده تا در مقابل اضافه ولتاژ های گذرا حداکثر تا 1.0p.u مقاوم باشد.

۷ - هزینه و اندازه FCL از قیمت کلید مشابه خود فراتر نباشد.

۸ - باید دارای یک شمارنده جهت ثبت تعداد دفعات عملکرد خود باشد. در بررسی ثابت گردید که FCL نوع رزنانسی ابزار مؤثری برای کاهش جریان خطابوده و کاربرد آن کیفیت ارائه سرویس را بهبود می بخشد و لزوم سرمایه گذاری اضافی جهت این وسیله در سیستمهای توزیع در آینده نزدیک مشخص تر خواهد گردید.

- 1 - P.G. slade, J.L. Wu, E.J. Stacey, W.F. Stubler, R.E. Voshall, J.J. Bond, J.W. Porter, and L. Hong, "The Utitity Requierements for a Distribution Fault Current Limiting," IEEE Trans. Power Delivery, Vol. 7, No. 2, PP. 507-515, Apr. 1992.
- 2 - H.E. Gallagher, J. Grzan, "145 KV Current Limiting Device, Field Tests", IEEE Transactions on Power Apparatus and Systems, Vol. PAS-99, No. 1, Jan. Feb. 1980.
- 3 - S. Palanichamy, P. Chnnasamy, "Semiconductor Fault Current Limitiers," IEE Proceedings, Vol. 131, Pt. C, No. 3, May. 1984.
- 4 - H. Nakayama, T. Fukazu, Y. Shinozaki, and K. Ibuki, "Development of High Voltage Self-Healing Current Limiting Element and Verification of its Operating Parameters as CLD for Distribution substations, "IEEE Trans. Power Delivery, Vol. 4, No. 1, PP. 342-348, Jan. 1989.
- 5 - G.G. Karady, "Principles of Fault Current Limitation by a Resonant LC Circuit," IEE Proceeding-C, Vol. 139, No. 1, PP. 1-6, Jan. 1992.
- 6 - H.M. Pfanz, J.A. Acreen, J.S. Schaffer, "Development and Testing of Power Assisted Current Limiting Fuses to 600 A and 38KV", IEEE Transactions on Power Delivery, Vol. 3, No. 2, April 1988.
- 7 - I. Lee R. Garberry, W. Knauer, B.A. Rest, S.H. Horowitz, "An Ultrafast Fault Sensor for a Fault Current Limiting Device, "IEEE Transactions on Power Apparatus and Systems, Vol. PAS-98, No. 3, May/June 1979.
- 8 - C.A. Falcone, J.E. Beehler, W.E. Mokoliters, J. Granz, "Current Limitting Device-a Utility Need". IEEE Transactions on Power Apparatus and Systems Vol. PAS 93, PP. 1968-1775, Nov/Dec 1974.
- 9 - M. Okazaki and T. Inaba, "Development of a New Multi-Divided Type of Commutating Elements for Fault Current Limiters on Distribution Lines," IEEE Trans. Power Delivery, Vol. 6, No. 4, PP. 1498-1502, Oct. 1991.
- 10 - H.J. King, H.E. Gallagher, and W. Knauer, " 145-KV Current Limiting Device-Design, Construction, and Factory test," IEEE Trans. Power Apparatus and Systems, Vol. 99, PP. 911-918. May/June 1980.
- 11 - J.G. Leach, "New Application Flexibility for Medium Voltage Current-Limiting Fuses," IEEE Trans. Industry Application, Vol. 21, No. 4, PP. 1075-1081, July/Aug 1985.